

燃料電池・蓄電池の 電気化学界面シミュレーションのこれまでの の発展とこれから

国立研究開発法人 産業技術総合研究所

機能材料コンピューテーショナルデザイン研究センター

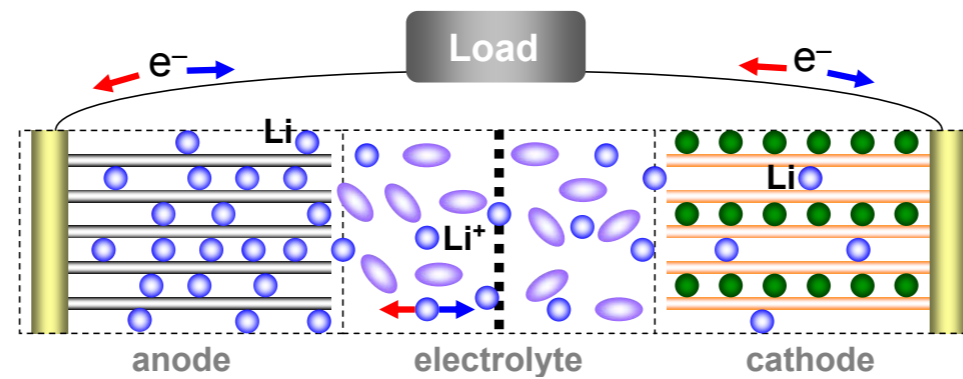
大谷 実

Outline

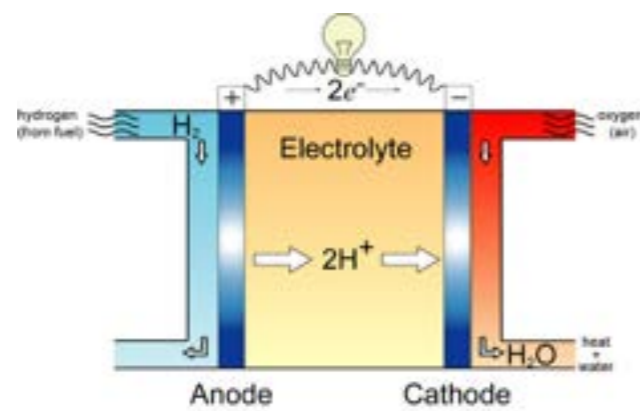
- バックグラウンド・シミュレーション技術の発展
- 電気化学界面シミュレーション事例
(スーパーキャパシター、燃料電池)
- 現状と今後の展望

Target devices

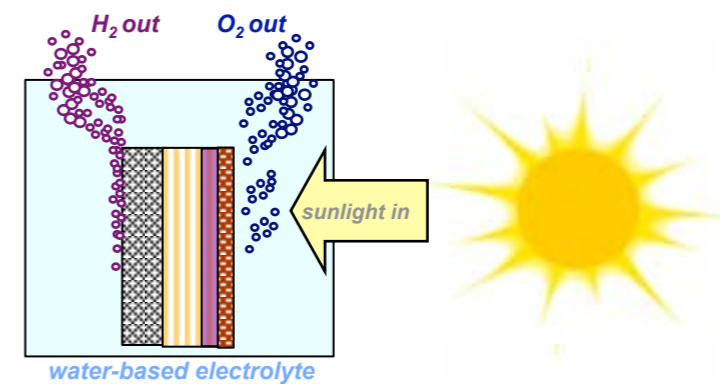
Energy storage



Energy generation



Energy harvesting



Electrochemical devices



Battery

- Manganese dry cell
- Lead battery
- NiCd, NiH secondary battery
- Fuel cell
- Lithium secondary battery

Capacitor

- Electrolytic condenser
- Double layer condenser
- Supercapacitor

Photovoltaic cell

- c-Si, a-Si solar cell
- Dye sensitized solar cell

photoelectrochemical
hydrogen production

Sensor

- pH meter
- ion selective concentration meter
- glucose, etc. (using enzyme)
- gas (oxygen, etc.)

Electroplating

Cathodic protection



Electrolysis

- Aluminum, Copper, etc.
- Water, salt, etc.
- Organic chemicals
- tetraethyl lead

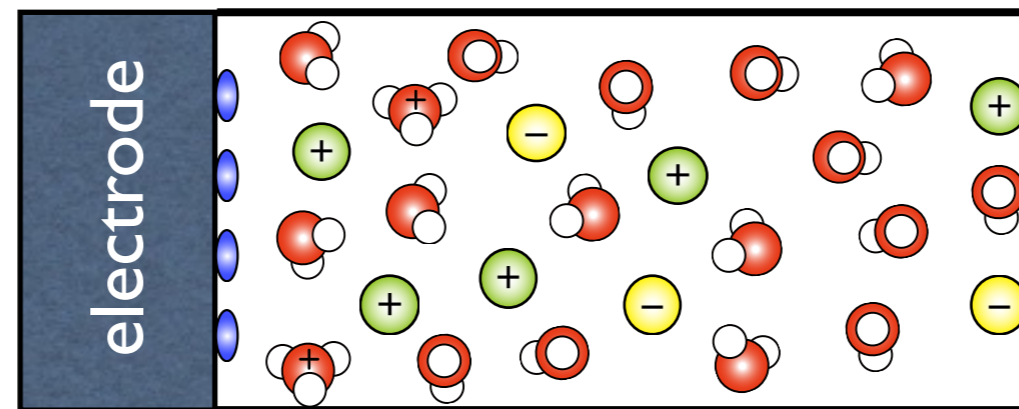


Challenges in modelling an electrochemical reaction

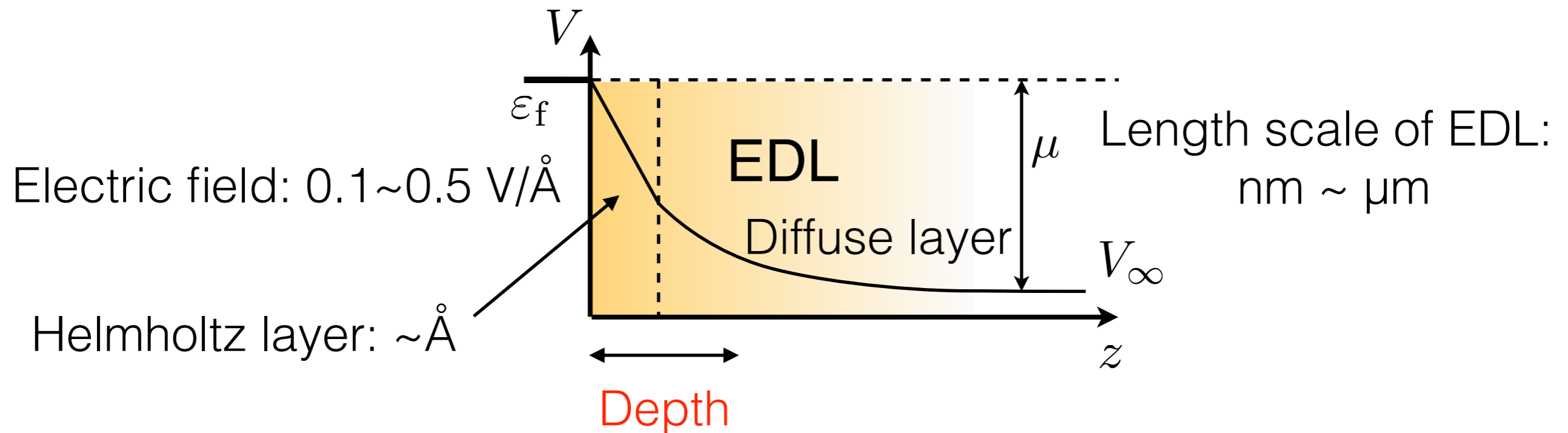
25°C, 1.0M NaCl, Electrode: Pt

4 nm² surface area

3-layer Pt(111):
460Pt atoms



1 NaCl / 50 H₂O



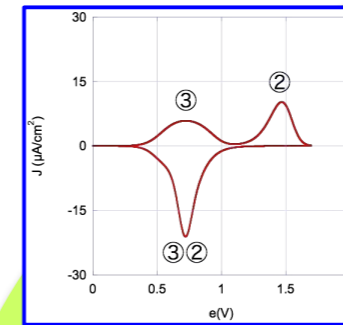
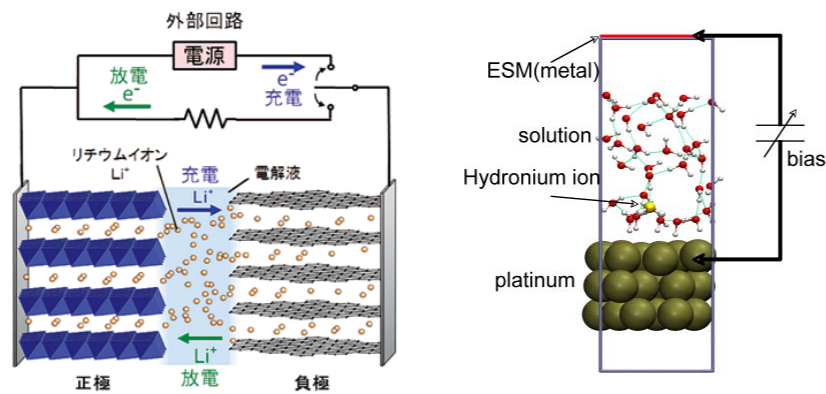
2 nm:	800 atoms (264 H ₂ O,	5 NaCl)
10 nm:	5000 atoms (1320 H ₂ O,	25 NaCl)
0.1 μm:	50000 atoms (13200 H ₂ O,	250 NaCl)

目標

化学電池性能評価シミュレータ

劣化診断・寿命予測

電気化学反応シミュレーション



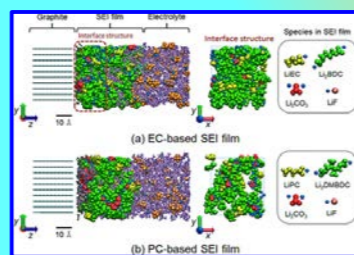
I-V曲線

- ・CV、LSV曲線
- ・充放電曲線
- ・交流インピーダンス解析

時間スケール

計算物理、計算化学

電極界面近傍の電気化学反応の量子化学シミュレーション



電池反応

- ・自由エネルギー計算
- ・スペクトロスコピー (XES/XAS・IR)

フェーズフィールド法

古典分子動力学法

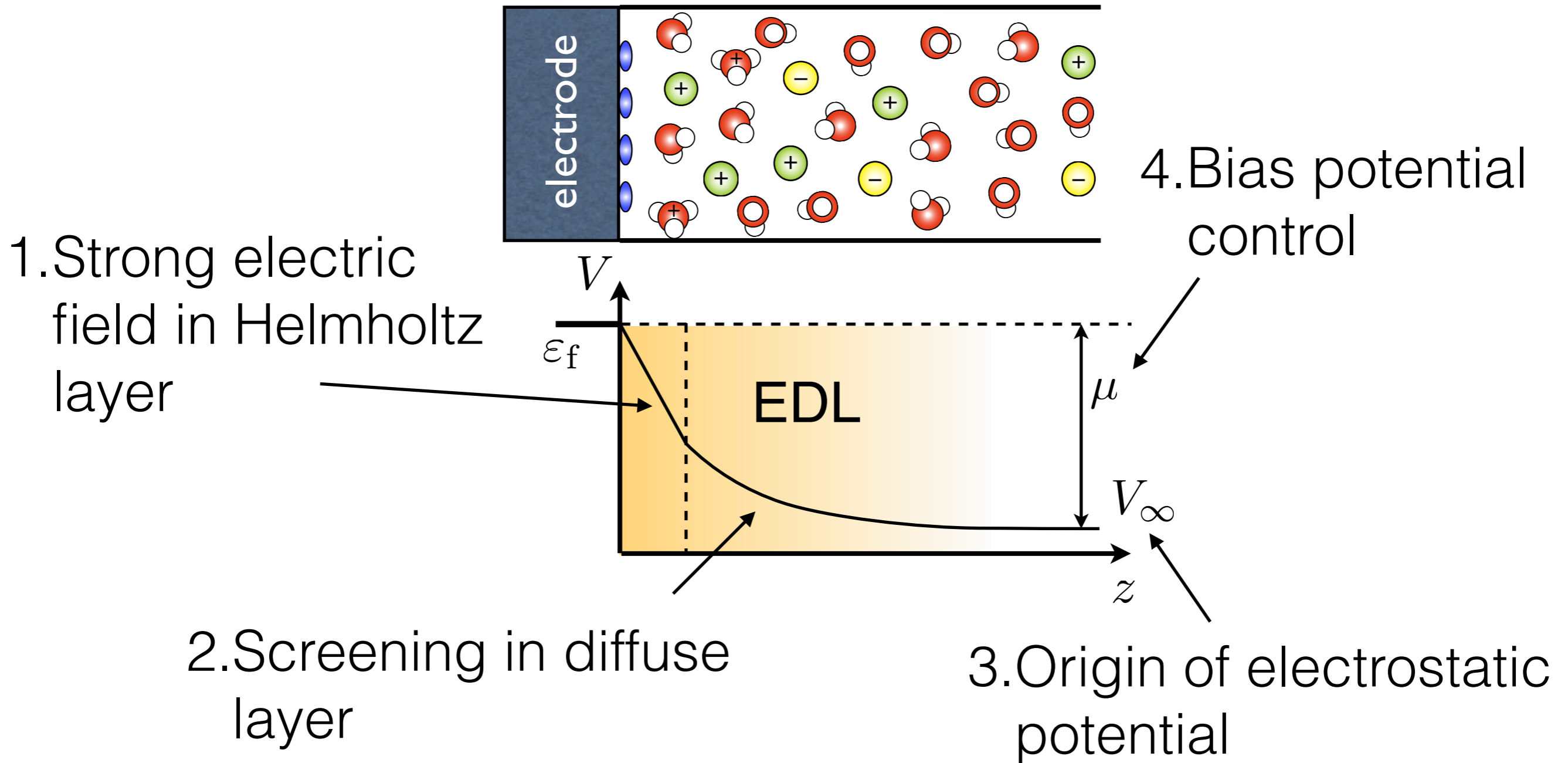
nm

μm

mm

長さスケール

4 Challenges in modelling an electrochemical reaction for DFT-MD



電気化学界面シミュレーションの課題

1. Strong electric field in Helmholtz layer

Effective Screening
Medium method

Phys. Rev. B **73**, 115407 (2006)

2. Screening in diffuse layer

Smooth ESM method

Phys. Rev. B **88**, 155427 (2013)

3. Origin of electrostatic potential

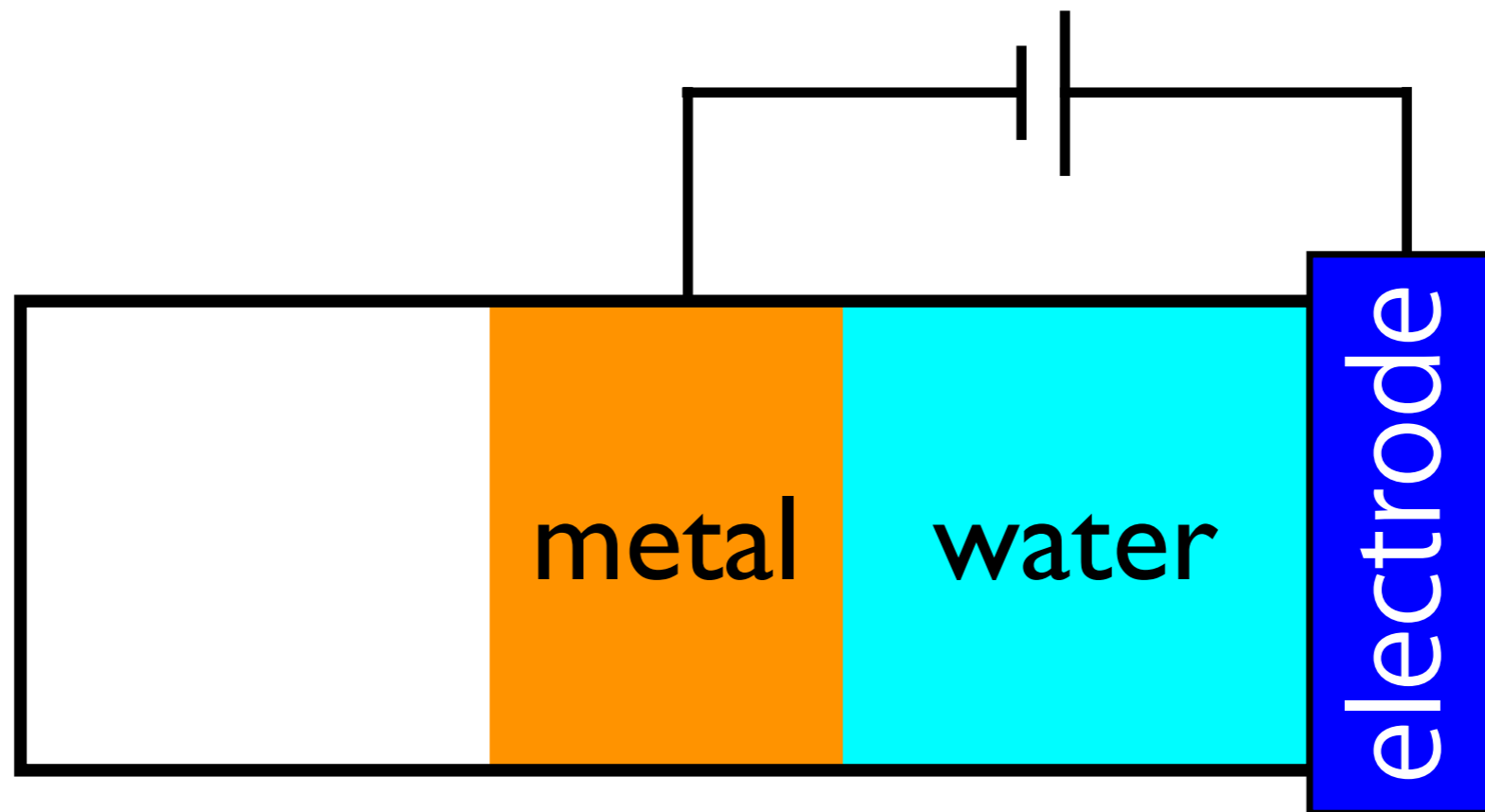
4. Bias potential control

Constant- μ method

Phys. Rev. Lett. **109**, 266101 (2012)

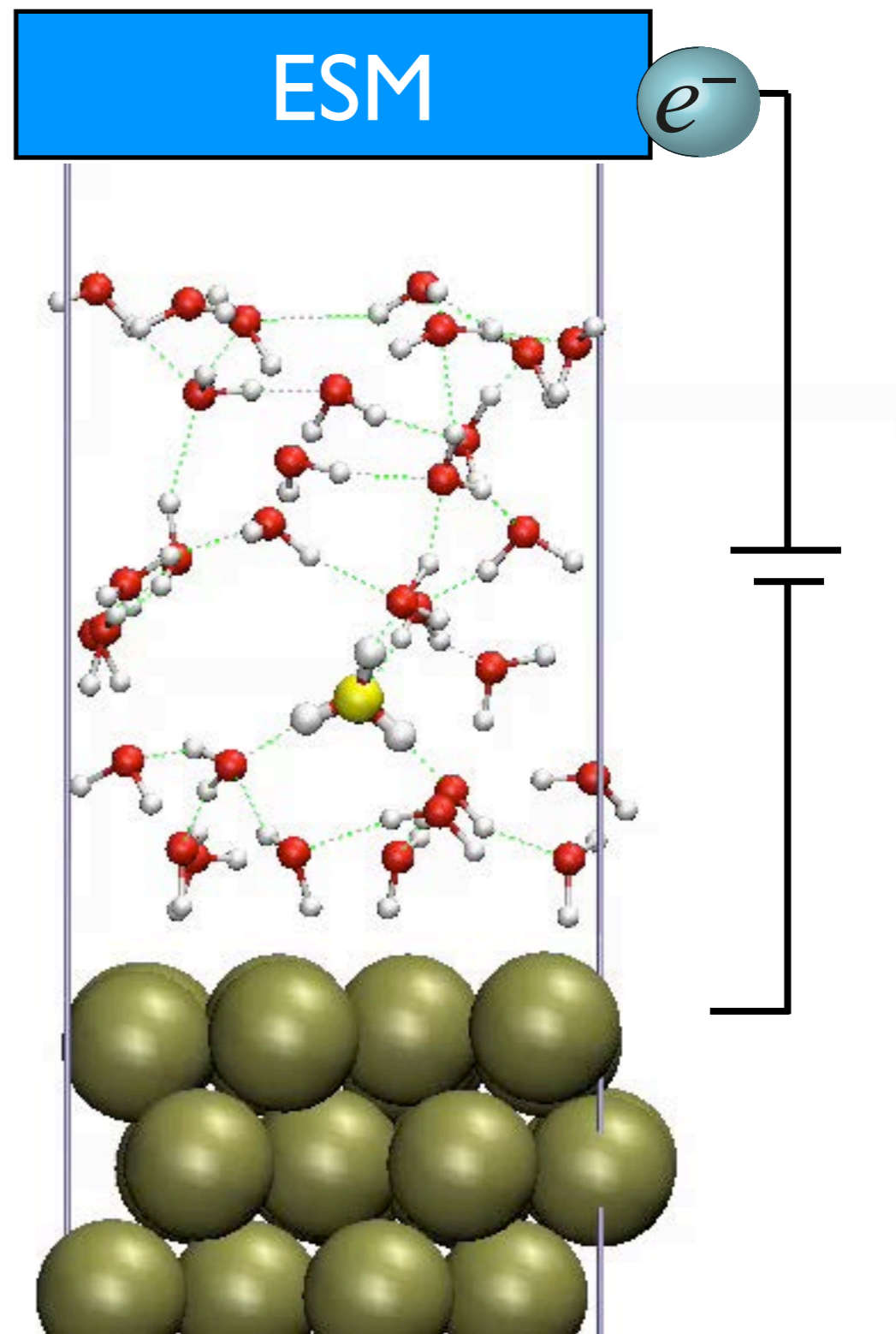
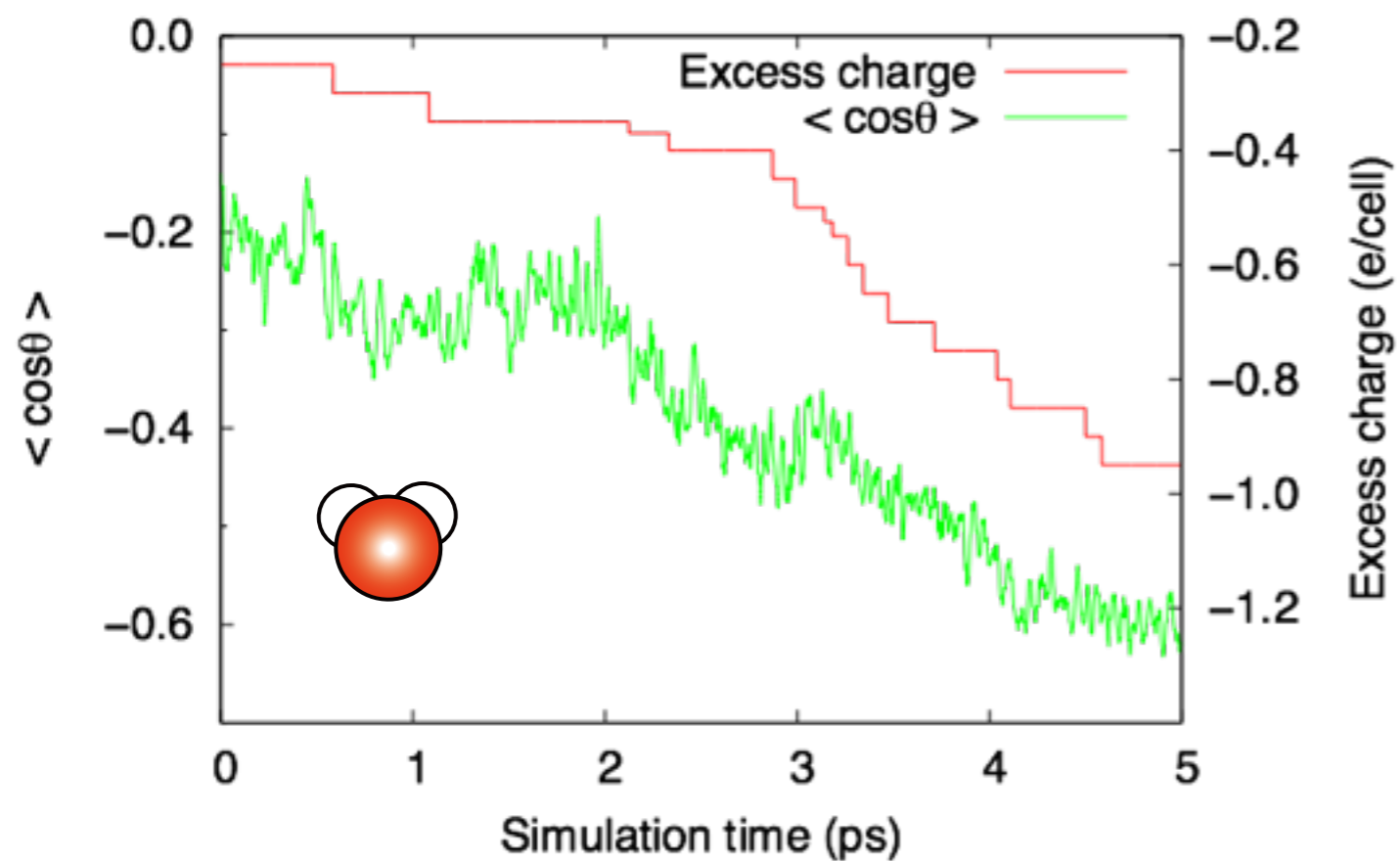
ESMとは？

従来のDFT計算のプログラムを用いて電池・キャパシタ構造の電子状態計算を可能になる

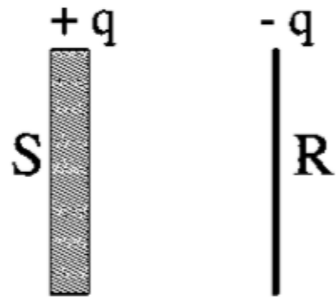

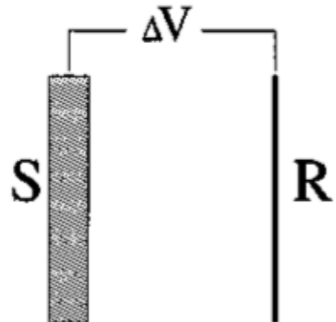



従来の方法では周期境界を課すので、外側に電極を置くような計算はできなかった

ESM法を用いたシミュレーションの様子

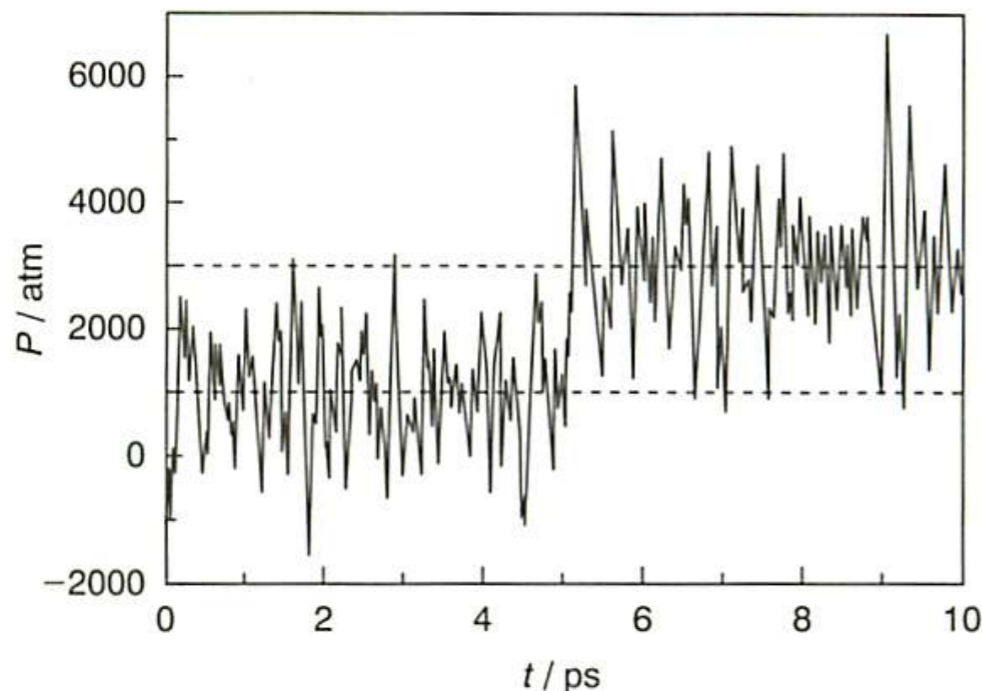


Limitation of the original conventional DFT-MD

Mode	Scheme	Thermodynamic potential	Experimental realization	
$N_e = \text{const}$		$F(T, V, N_e)$	Isolated capacitor	 conventional simulation
$\mu = \text{const}$		$\Omega(T, V, \mu)$	Electrochemistry (STM)	 experimental simulation

電子系のグランドカノニカルアンサンブル法

Conventional **NPT** MD simulation



v_{cell} : Cell volume

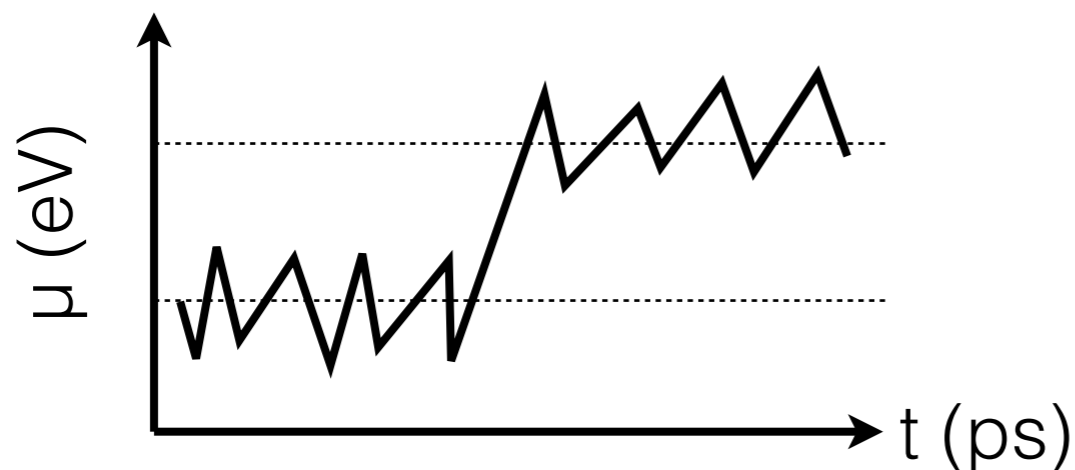
$M_{v_{\text{cell}}}$: Fictitious mass for variable cell

$$\dot{v}_{\text{cell}} = \frac{P_{v_{\text{cell}}}}{M_{v_{\text{cell}}}}$$

$$\dot{P}_{v_{\text{cell}}} = P - P_{\text{ext}}$$

from Virial theorem

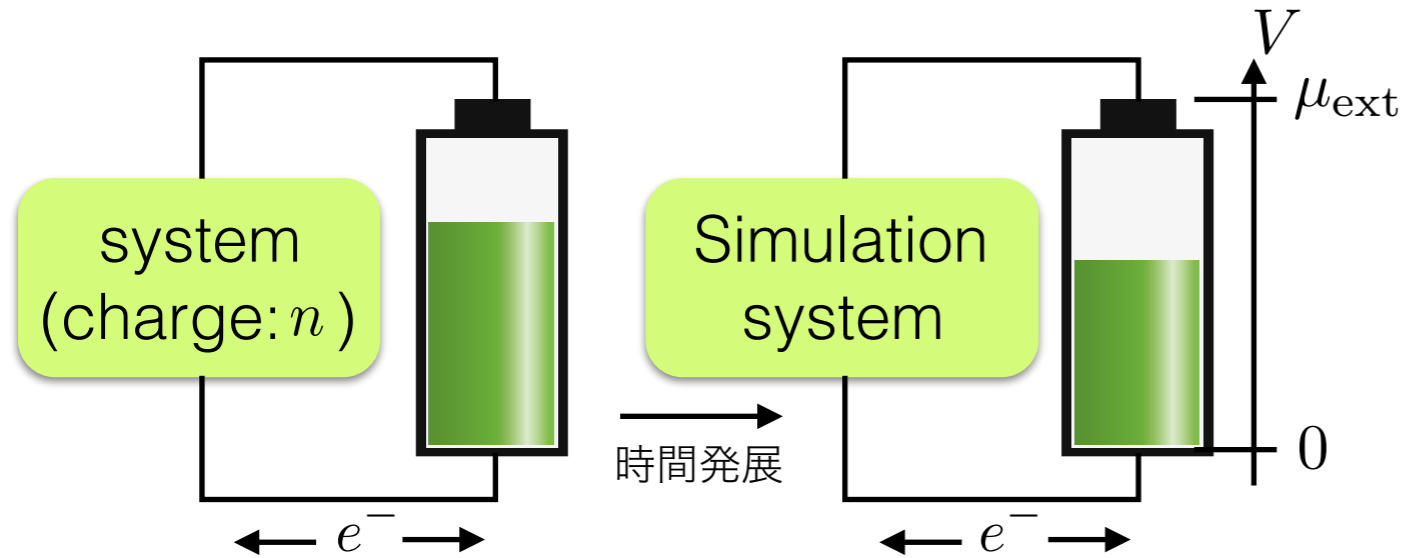
If we can introduce a fictitious motion for amount of charge n_e , we can realize **NVT μ_e** MD simulation



$$\dot{n}_{\text{cell}} = \frac{P_{n_{\text{cell}}}}{M_{n_{\text{cell}}}}$$

$$\dot{P}_{n_{\text{cell}}} = \mu - \mu_{\text{ext}}$$

定電位手法



- 系の電荷量 (n) を運動の変数とする
- Potentiostatを接続し、systemの電位を μ_{ext} に保つ

仮想的なLagrangianを導入

$$L_{\mu} = \frac{1}{2} \sum_i^N m_i \dot{\mathbf{r}}_i^2 - E(\{\mathbf{r}\}; \psi) + \frac{1}{2} M \dot{n}^2 - (-\mu_{\text{ext}} n)$$

ここで、 M は電荷量の仮想的な重さを表す。Euler-Lagrange方程式は

$$\begin{cases} m_i \ddot{\mathbf{r}}_i = -\frac{\partial E(\{\mathbf{r}_i\}; \psi)}{\partial \mathbf{r}_i} \\ M \ddot{n} = -\left(\frac{\partial E(\{\mathbf{r}_i\}; \psi)}{\partial n} - \mu_{\text{ext}} \right) \end{cases}$$

瞬間的な電子系の電位 μ_{in}

となる。

Test calculation (Pt-H₂O interface)

constant-N

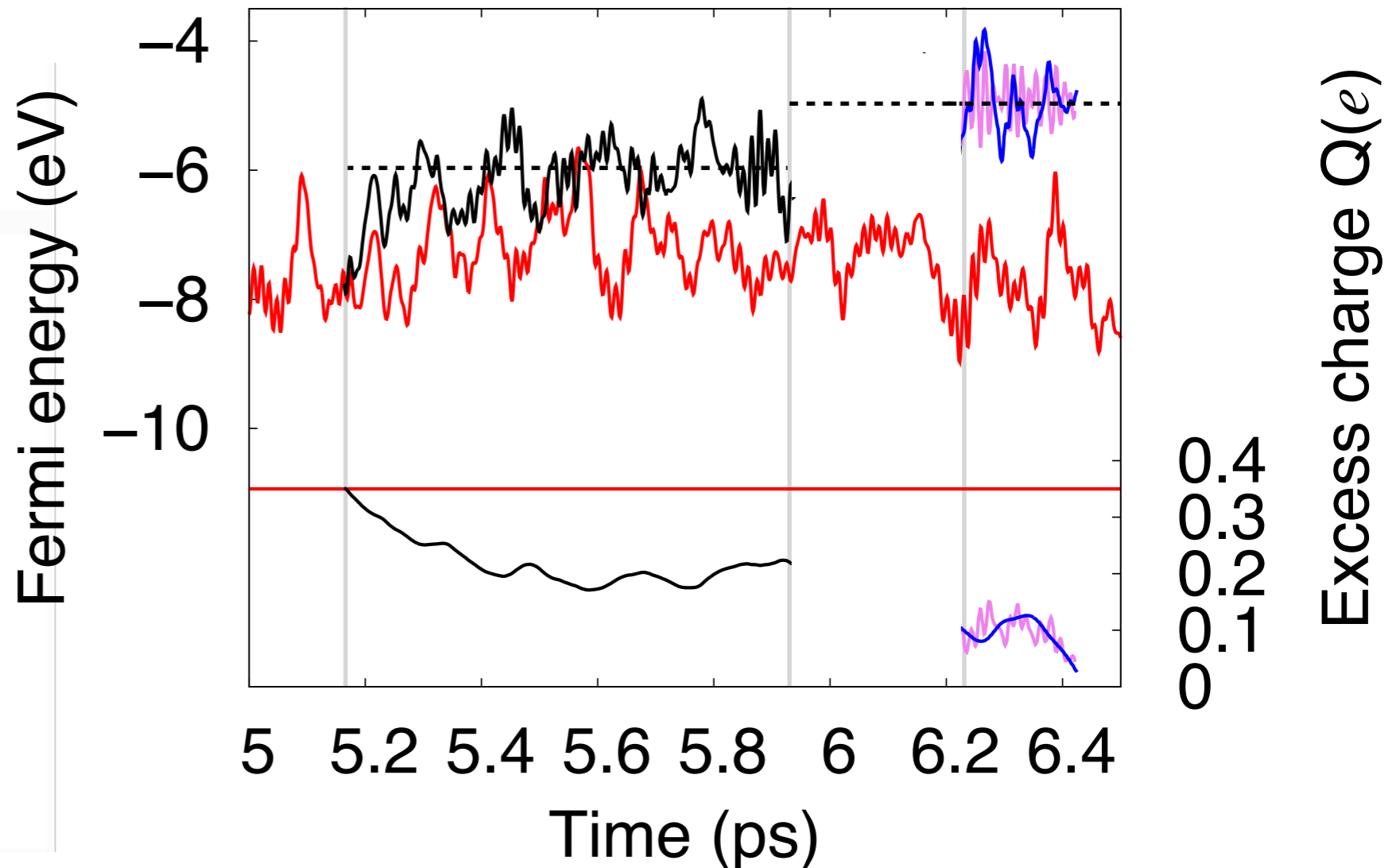
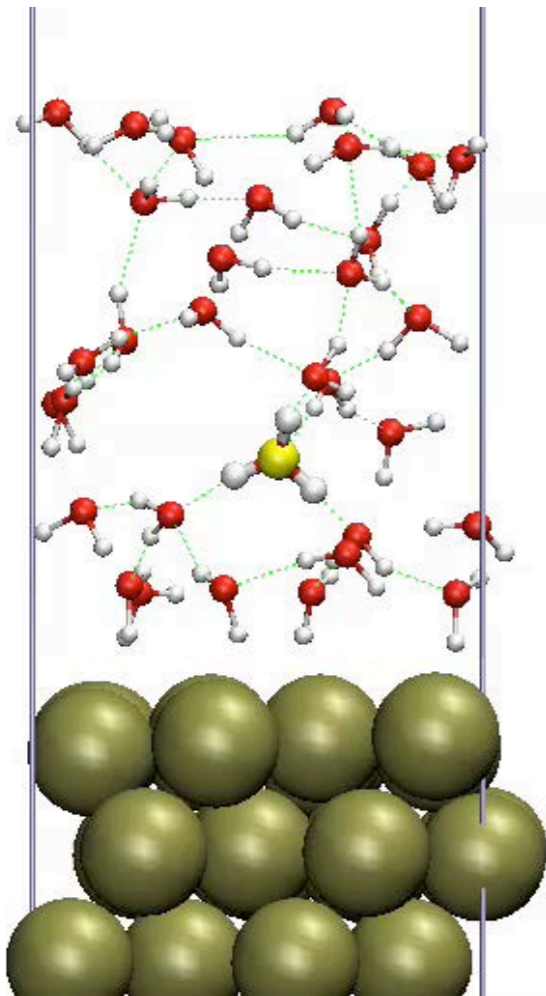
$$T_{\text{atom}} = 353 \text{ K}$$
$$Q = 0.35 \text{ (e/cell)}$$

constant- μ

$$\mu_{\text{ext}} = -6.0 \rightarrow -4.9 \text{ eV}$$
$$T = 3 \text{ K}$$
$$M_{n_e} = 300 \text{ cm}^{-1}$$
$$M_{\xi_c} = 100 \text{ cm}^{-1}$$

$$\mu_{\text{ext}} = -4.9 \text{ eV}$$
$$T = 3 \text{ K}$$
$$M_{n_e} = 2500 \text{ cm}^{-1}$$
$$M_{\xi_c} = 100 \text{ cm}^{-1}$$

$$\mu_{\text{ext}} = -4.9 \text{ eV}$$
$$T = \underline{300 \text{ K}}$$
$$M_{n_e} = 300 \text{ cm}^{-1}$$
$$M_{\xi_c} = 100 \text{ cm}^{-1}$$



Experimental technique on electrochemical devices

in situ spectroscopy

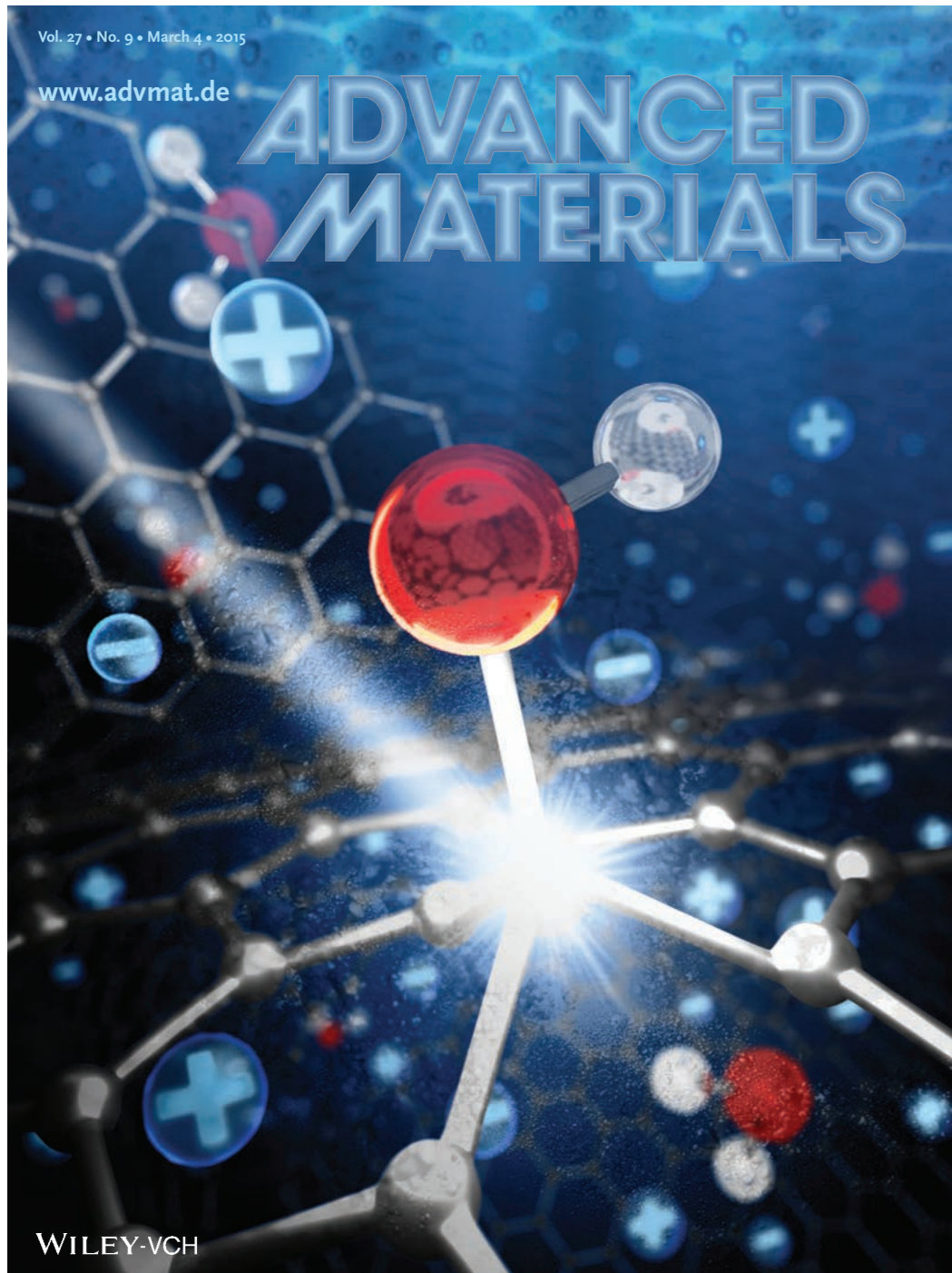
- X-ray emission/absorption spectroscopy (XES/XAS)
- Raman spectroscopy
- Infrared spectroscopy (IR)
- Auger electron spectroscopy (AES)
- etc...

I-V characteristic

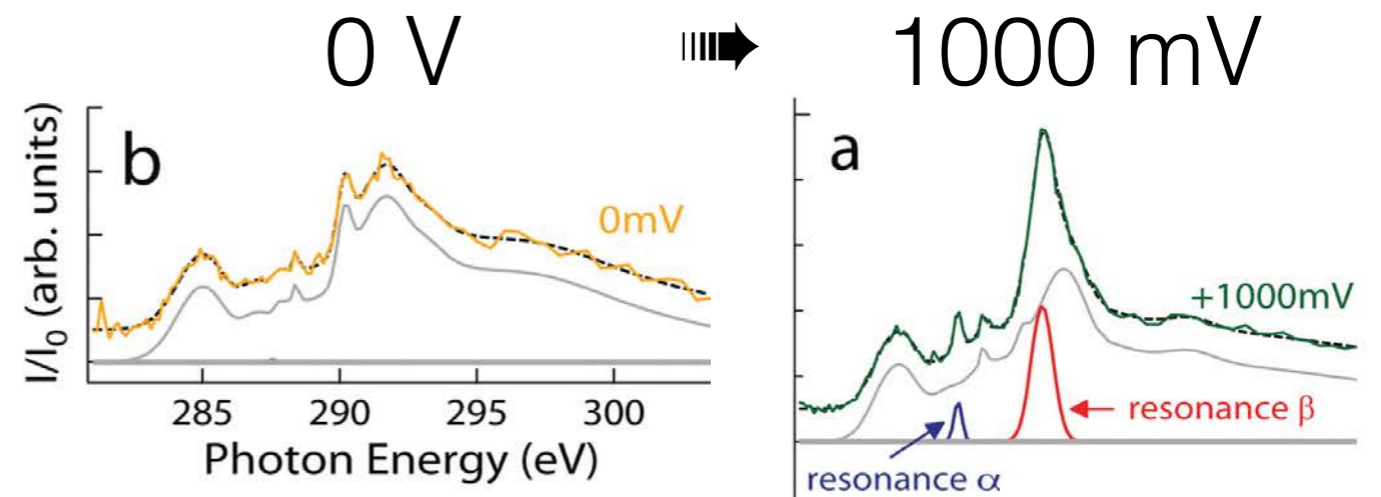
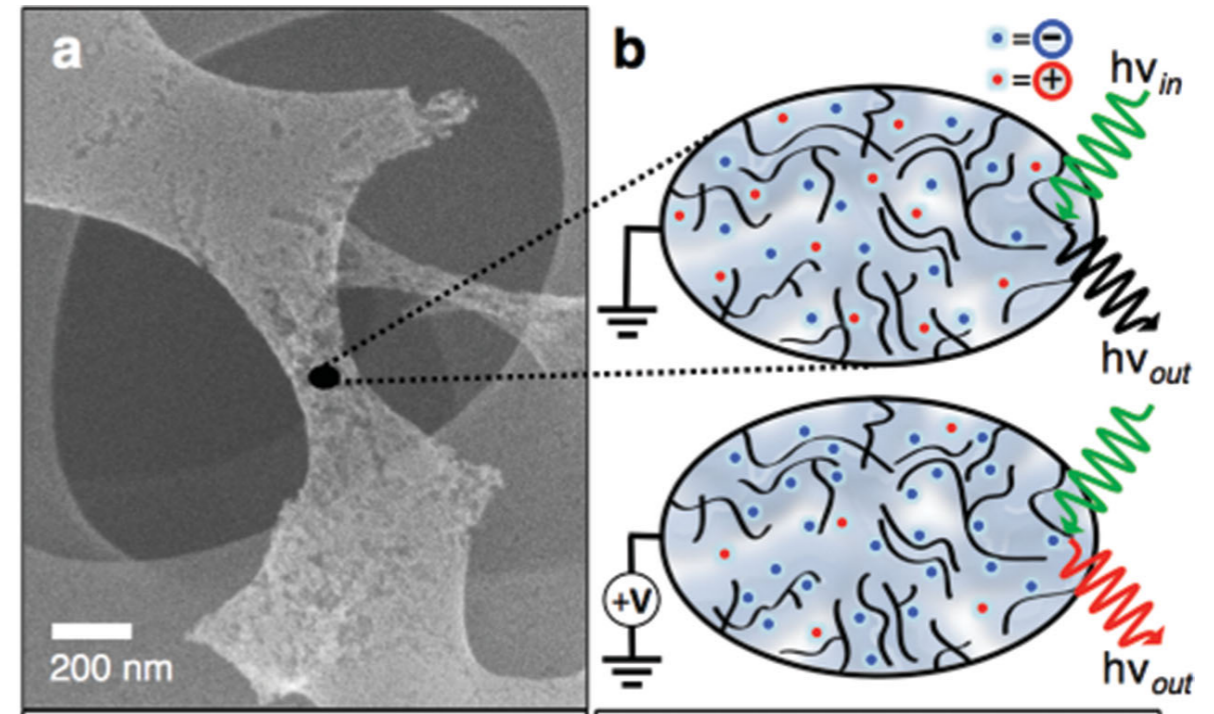
- Cyclic voltammetry (CV)
- Linear sweep voltammetry (LSV)
- Charge/discharge characteristic
- Impedance spectroscopy
- etc...

動作環境下における第一原理
シミュレーションが可能に

XAS analysis of carbon aerogel super capacitor



Advanced Materials **27**, 1512 (2015)

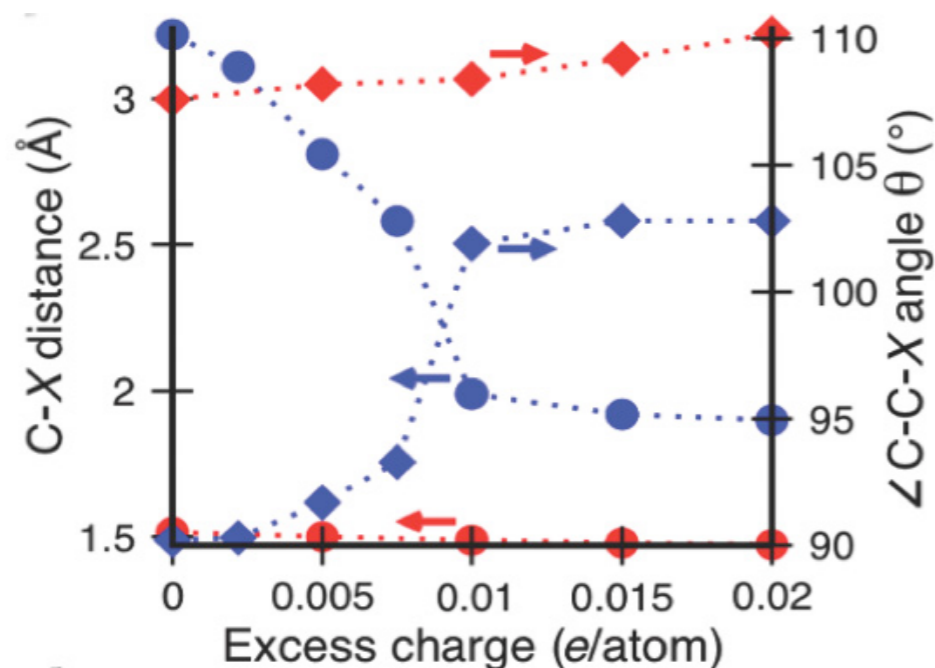
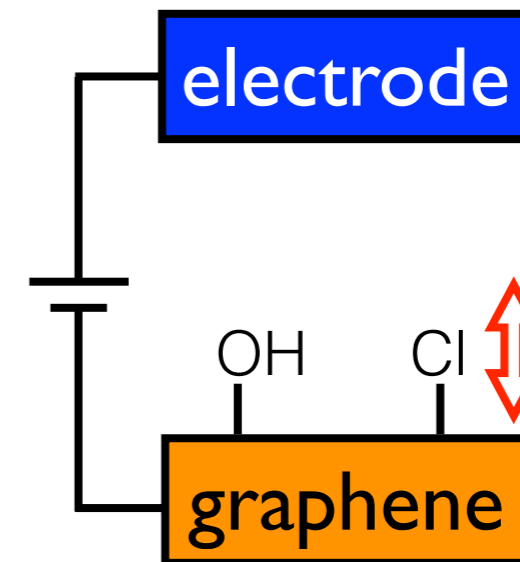


Newly developed XAS technique reveals the bias induced changes of the electronic structure of the electrode.

XAS analysis of carbon aerogel super capacitor

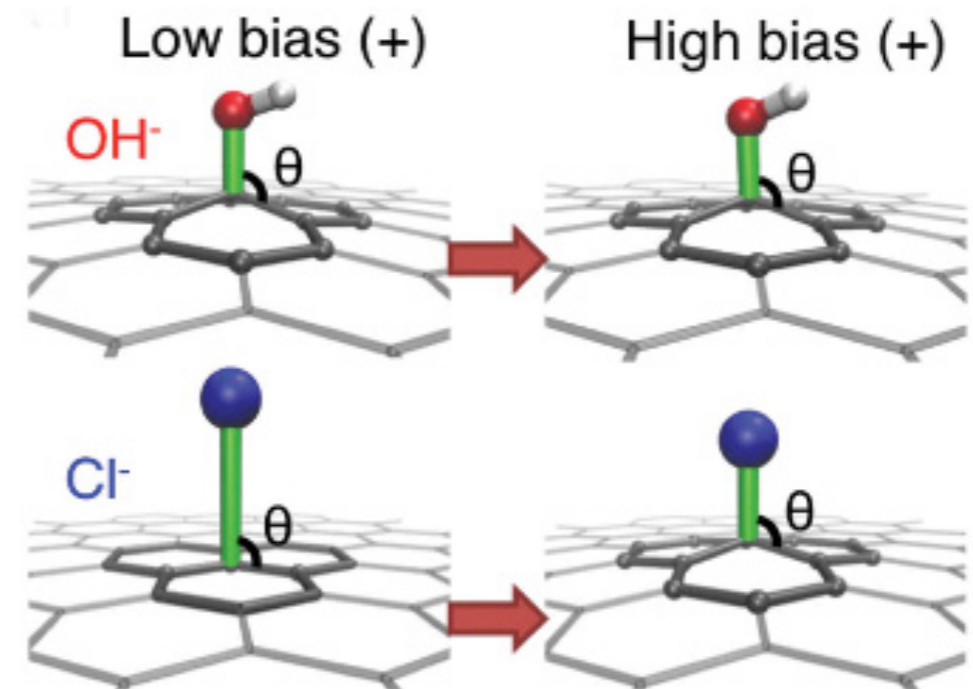
Advanced Materials **27**, 1512 (2015)

XAS spectral calculation with quantum espresso package
<http://www.quantum-espresso.org>



Low bias

High bias



Cl⁻は印可電圧による表面状態変化を誘発しやすい

Experimental technique on electrochemical devices

in situ spectroscopy

- X-ray emission/absorption spectroscopy (XES/XAS)
- Raman spectroscopy
- Infrared spectroscopy (IR)
- Auger electron spectroscopy (AES)
- etc...

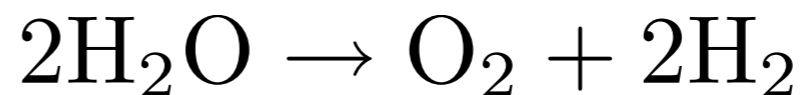
I-V characteristic

- Cyclic voltammetry (CV)
- Linear sweep voltammetry (LSV)
- Charge/discharge characteristic
- Impedance spectroscopy
- etc...

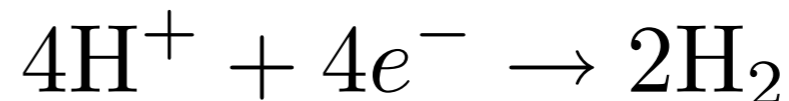
動作環境下における第一原理
シミュレーションが可能に

面方位で異なる反応

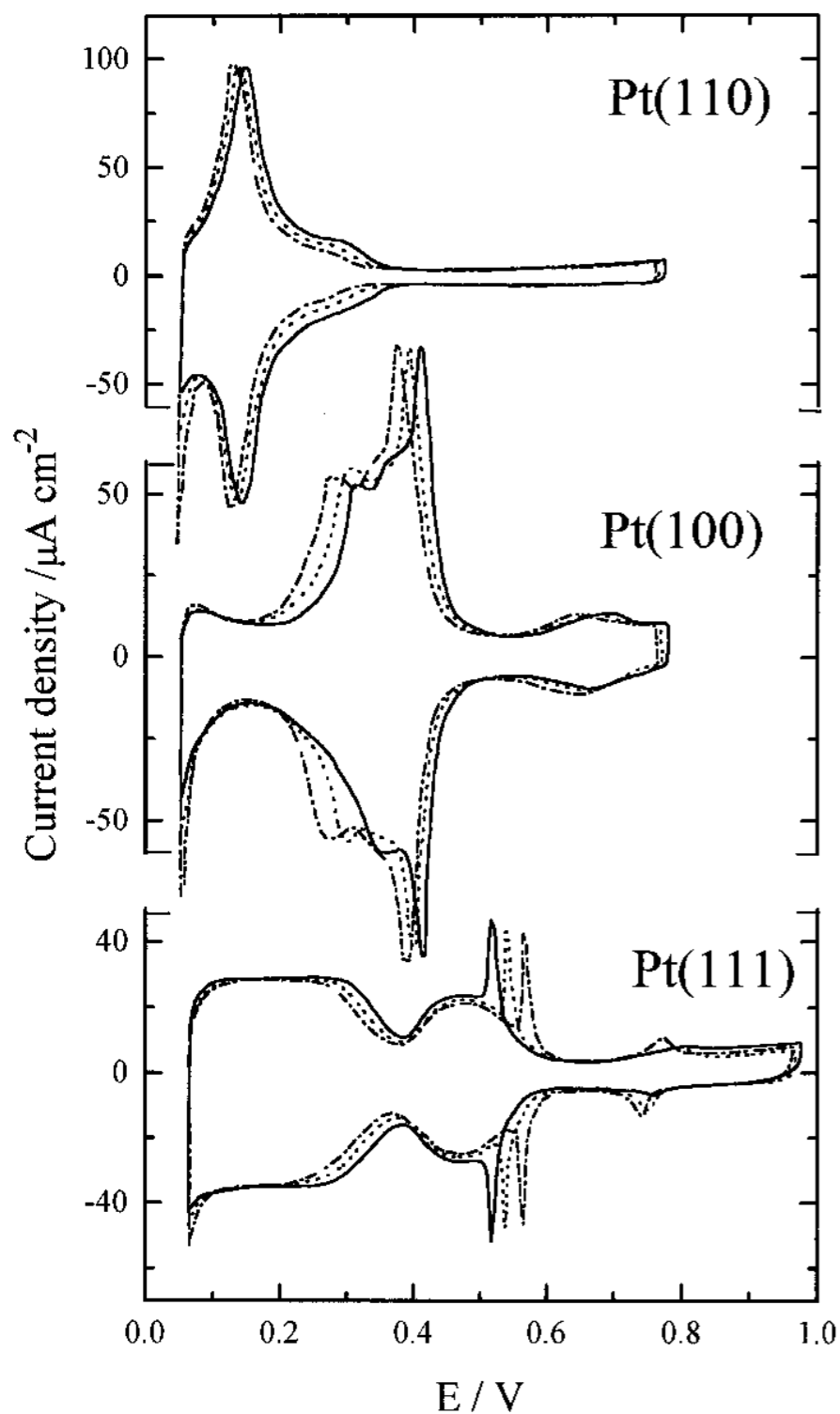
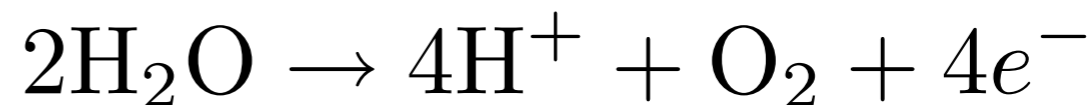
水の電気分解 / 燃料電池反応



陰極



陽極

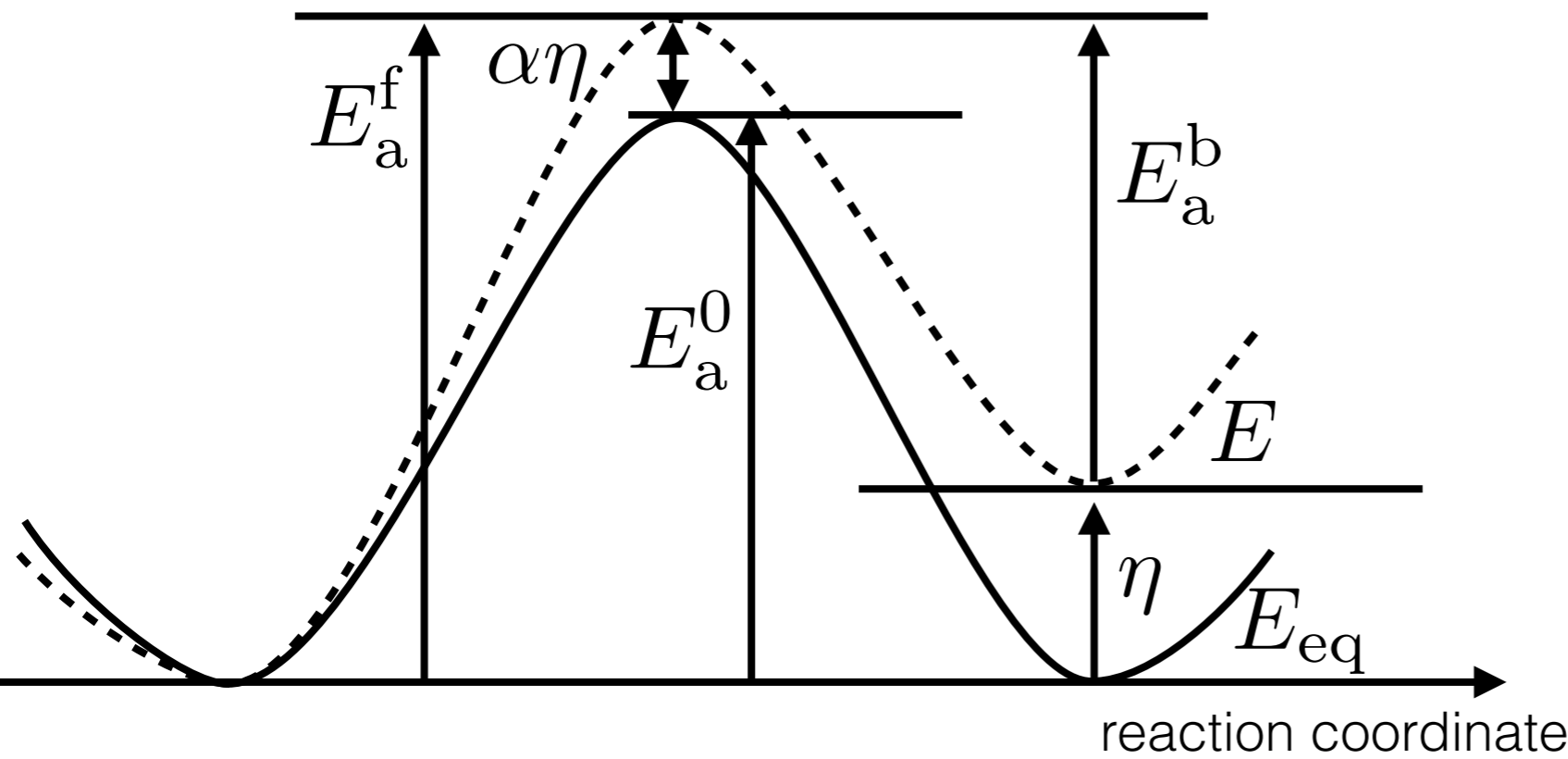


Pt(<i>hkl</i>)	mechanism rds
Pt(110)	Tafel –Volmer
Pt(100)	Heyrovsky –Volmer
Pt(111)	Tafel–Volmer, Heyrovsky–Volmer

Markovic et.al., J. Phys. Chem. B 101, 5405 (1997)

Kinetic analysis

Energy profile of an electrochemical reaction



- E : electrode potential
- E_{eq} : equilibrium potential
- E_a^0 : activation energy at equilibrium
- E_a^f : activation energy of forward reaction
- E_a^b : activation energy of backward reaction
- η : over potential
- α : symmetry factor

I-V characteristic

✓What do we need to simulate the I-V characteristic:

- Nernst equation

$$E_{\text{eq}} = E_0 + \frac{RT}{nF} \log \left(\frac{c_{\text{ox}}}{c_{\text{red}}} \right)$$

First principles molecular dynamics simulation

- Butler-Volmer equation

$$j = j_0 \left\{ \exp \left(\frac{(1 - \alpha)(E - E_{\text{eq}})}{RT} \right) - \exp \left(-\frac{\alpha(E - E_{\text{eq}})}{RT} \right) \right\} \quad j_0 = k \exp \left(-\frac{E_a}{RT} \right)$$

- Diffusion equation

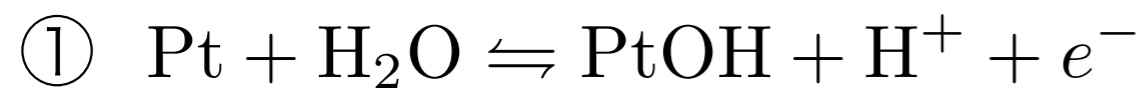
$$\frac{\partial c}{\partial x} = -D \frac{\partial^2 c}{\partial x^2}$$

from experiment, classical MD, FPMD,...

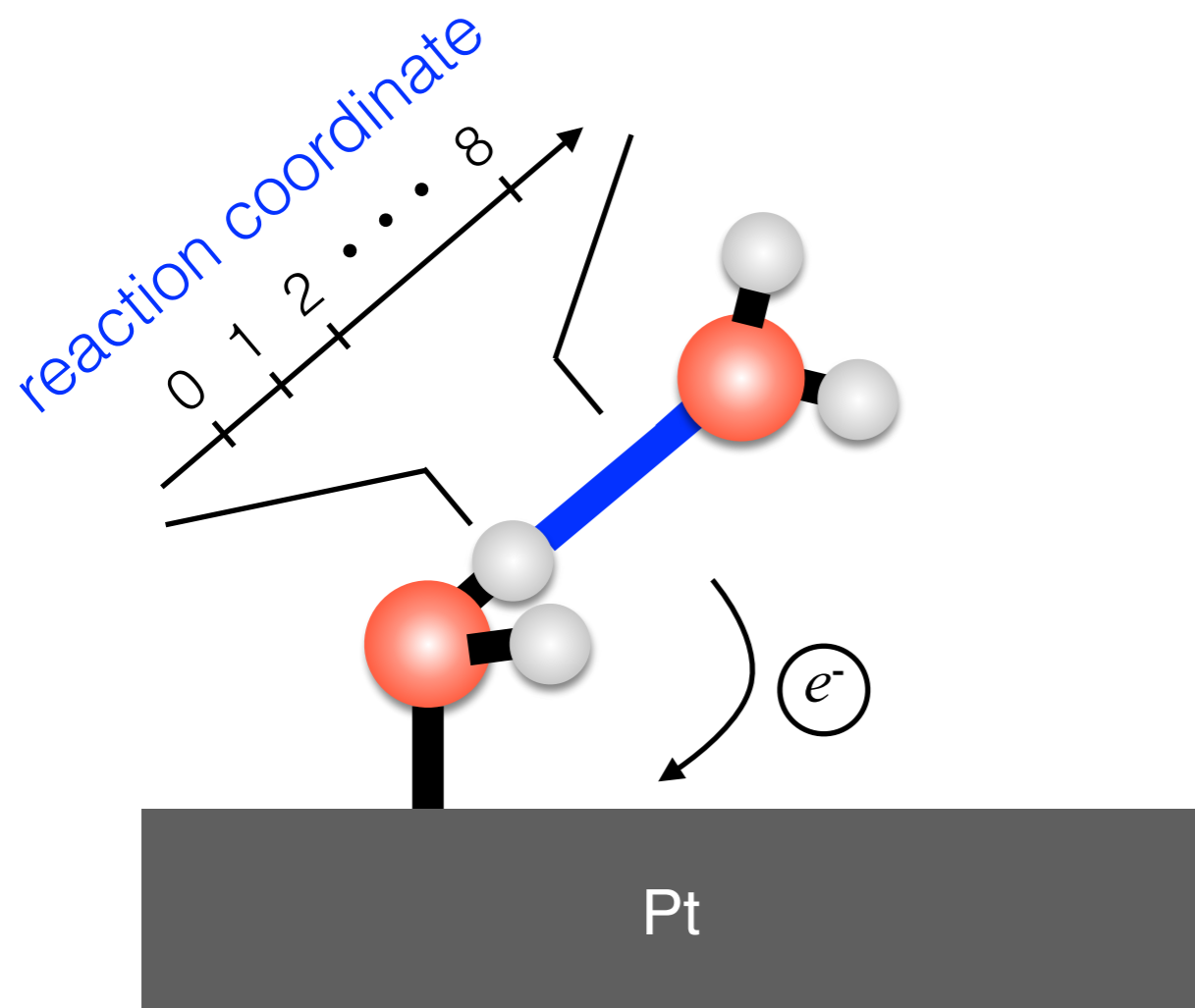
$$\frac{k_B T}{h} \sim 245 \text{ cm}^{-1}$$

from Eyring theory

Free energy profile



Free energy & charge



OH distance (\AA)

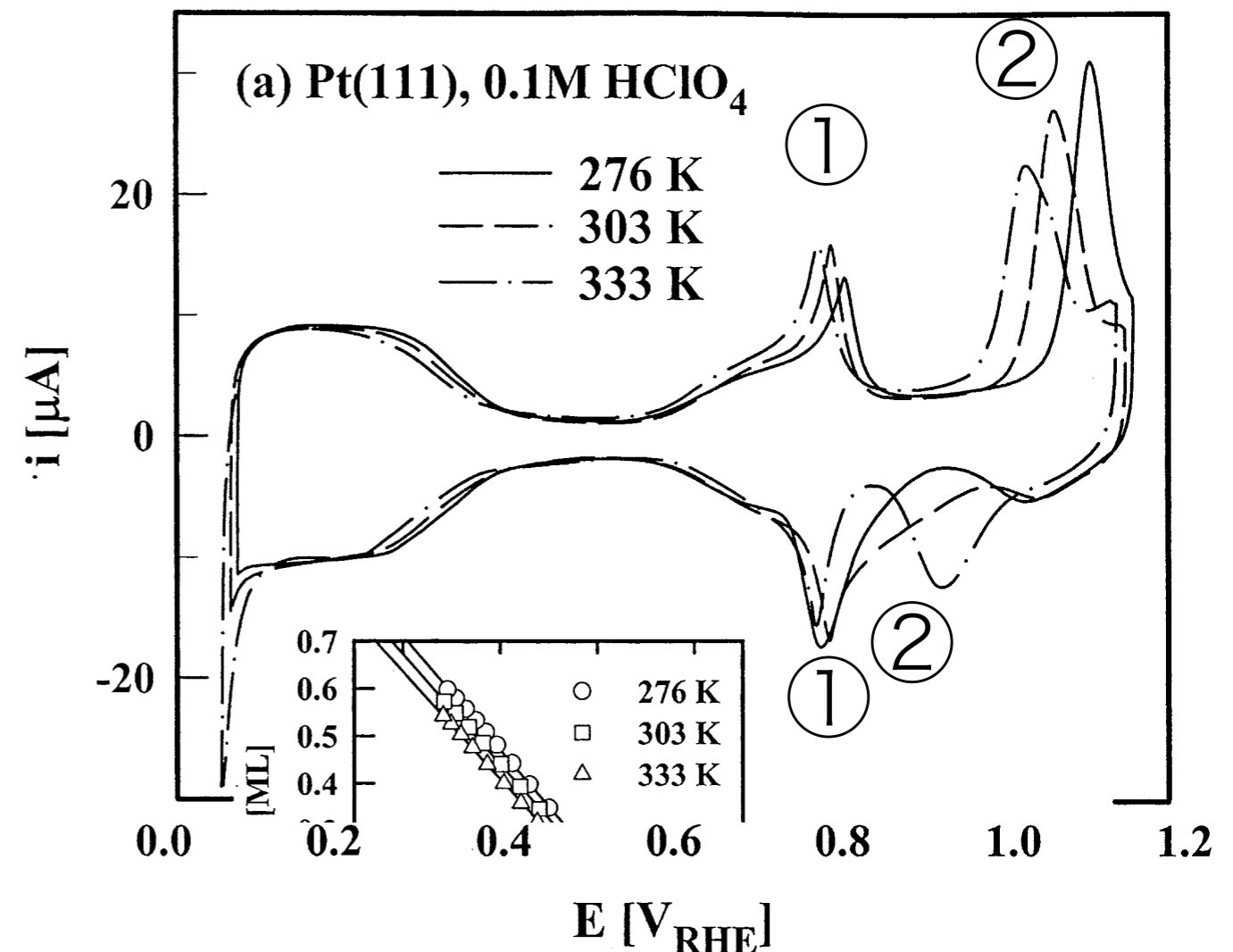
$$E_a^f = 0.14 \text{ eV}$$

$$E_a^b = 0.12 \text{ eV}$$

$$\mu_{\text{ext}} = -7.08 \text{ eV}$$

CV curve of Pt(111)

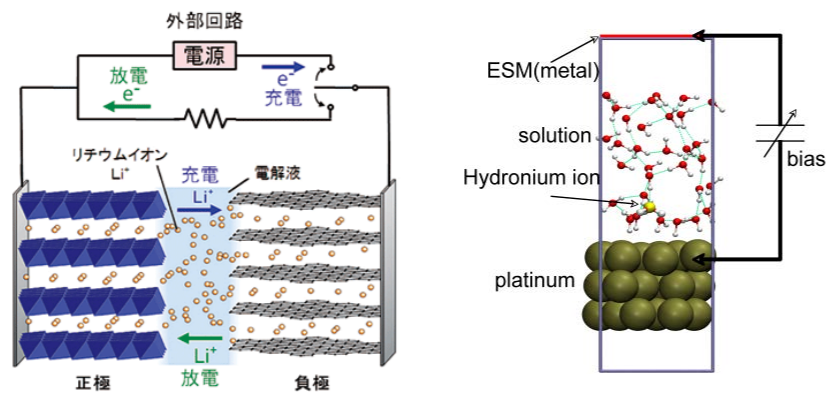
- ESM+BM calculation can reproduce the CV curve



現状

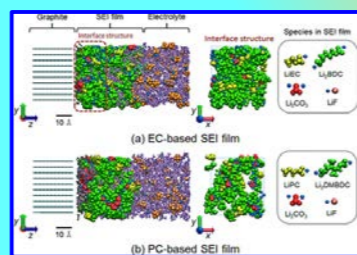
時間スケール

電気化学反応シミュレーション



計算物理、計算化学

電極界面近傍の電気化学反応の量子化学シミュレーション



電池反応

- ・自由エネルギー計算
- ・スペクトロスコピー (XES/XAS・IR)

nm

フェーズフィールド法

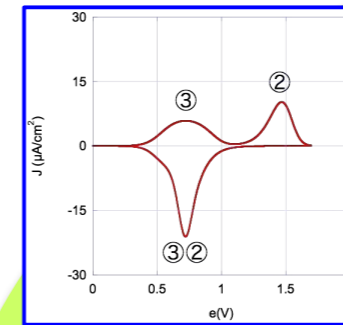
古典分子動力学法

μm

長さスケール

化学電池性能評価シミュレータ

劣化診断・寿命予測



I-V曲線

- ・CV、LSV曲線
- ・充放電曲線
- ・交流インピーダンス解析

速度論を用いて

バイパス

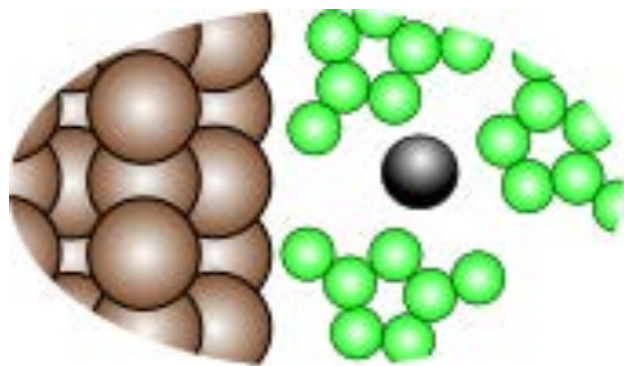
mm

将来

SEI中のイオン拡散をシミュレーション。
アモルファス・ポリマー中の反応解析
及び、拡散経路探索。電位依存性も考慮

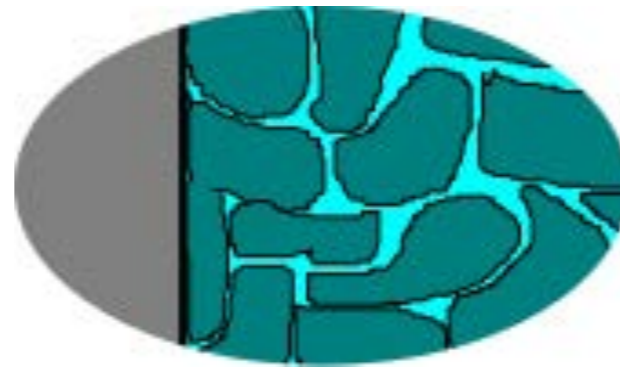
電池特性や劣化の支配因子を
明らかにし、性能改善のための
設計指針を提示する

電位を制御しながら第一原理計算を行い、
電極界面における電気化学反応を
正確にシミュレーション



マイクロ界面

~nm

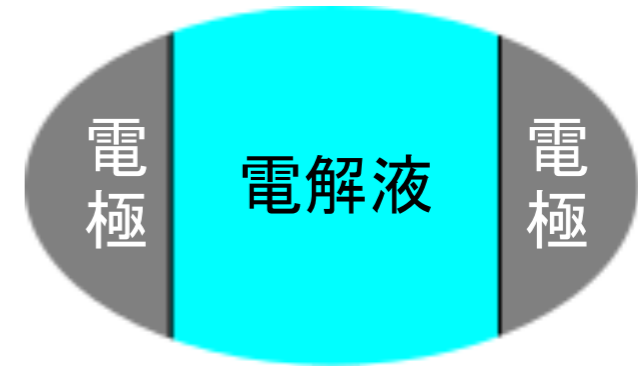


マクロ界面

~sub- μ m

未知材料及び実験データ取得が困難なパラメータを
第一原理計算をベースに計算する

フルセル ~cm



・実験データ
・古典分子動力学
データ

電池シミュレータ

・CV、LSV曲線
・充放電曲線
・交流インピーダンス解析

Collaborators

Method development

- Osamu Sugino (ISSP)
- Nicephore Bonnet
- Tetsuya Morishita (AIST)
- Ikutaro Hamada (NIMS)
- Hu Chunping (AIST)

Fuel cell

- Tamio Ikeshoji (FC-Cubic)
- Yoshitada Morikawa (Osaka U.)

Lithium ion battery

- Tsukuru Ohwaki (NISSAN ARC)
- Taisuke Ozaki (U. Tokyo)

Super capacitor

- Tadashi Ogitsu (LLNL)
- Brandon Wood (LLNL)
- David Prendergast (LBNL)

Computer resources

- KEI-computer
- ISSP (U Tokyo)
- ITC (U Tokyo)